

Поразрядная сумма по модулю 2 для трюичных векторов вычисляется следующим образом: 1) если оба разряда значащие, то они складываются по модулю 2; 2) если один из разрядов значащий, а другой «—», то результирующая компонента вектора равна «—»; 3) если оба разряда «—», то «—».

Общее количество необнаруживаемых ошибок кратности  $t$  при переходе слова с ошибкой из интервала  $I_i$  в интервал вычисляется по формуле

$$m(E_{ij}^t) = C_{n-p}^{-tE_{ij}}, \quad (10)$$

где  $n$  — разрядность трюичного вектора  $E_{ij}$ ;  $p$  — число значащих разрядов трюичного вектора  $E_{ij}$ ;  $tE_{ij}$  — число единиц трюичного вектора  $E_{ij}$ .

Обнаруживающая способность выражается как отношение доли необнаруживаемых ошибок кратности  $t$  к общему количеству ошибок этой же кратности и вычисляется по формуле

$$\delta = \frac{m(E^t) + m(E_{ij}^t)}{C_n^t N} = \frac{C_{n-p}^t + C_{n-p}^{t-E_{ij}}}{C_n^t \cdot N}, \quad (11)$$

где  $C_n^t N$  — общее количество искажений, которым подвергаются слова булевой матрицы разрешенных слов ( $n \times N$ ) под воздействием ошибок кратности  $t$ .

В пишущей машинке Consul-260 обнаружение ошибок нечетной кратности достигается за счет введения дополнительного контрольного разряда, использование естественной избыточности позволяет обнаруживать дополнительно 84 % двухкратных и 87 % четырехкратных ошибок.

**Заключение.** Методы предварительной обработки избыточного алфавитного множества: декомпозиция, минимизация функции  $\Psi$ , оценка обнаруживающей способности ориентированы на ЕС ЭВМ с применением программных средств языка ЛЯПАС-М [5]. Полученные в результате такого подхода алгоритмы контроля просты в реализации, оперативны, не требуют больших затрат памяти и могут быть реализованы на любой управляющей ЭВМ, включенной в систему сбора и обработки информации.

1. Литвинов В. А., Крамаренко В. В. Организация информационной базы для стандартной процедуры проверки совместимости данных (логического контроля).— УСиМ, 1979, № 4, с. 27—32.
2. Савченко Ю. Г. Некоторые соотношения для избыточных алфавитных множеств.— В кн.: Методы контроля и восстановления двоичных сигналов. Киев: О-во «Знание» УССР, 1979.
3. Савченко Ю. Г., Корунец Е. И. Алгоритм декомпозиции булевой функции.— В кн.: Теоретические и прикладные вопросы проектирования систем управления. Киев: Наук. думка, 1980, с.
4. Закревский А. Д. Алгоритмы синтеза дискретных автоматов.— М.: Наука, 1971.— 248 с.
5. Закревский А. Д., Торопов Н. Р. Система программирования Ляпас-М.— М.: Наука и техника, 1978.—302 с.

Киев

Получено 28.05.81

УДК 621.372.54.037.372

**Б. П. Яворский**

## ОПРЕДЕЛЕНИЕ ПОРЯДКА СОЕДИНЕНИЯ ЗВЕНЬЕВ ПРИ КАСКАДНОЙ РЕАЛИЗАЦИИ ЦИФРОВОГО ФИЛЬТРА

Аппаратурные ограничения, которые приводят к возникновению всевозможных нежелательных эффектов [4, 5], усложняют задачу реализации цифровых фильтров в виде специализированных вычислительных уст-

ройств и вместе с тем представляют интереснейший материал для исследований. Известно, что при каскадной реализации фильтра ошибка вычислений зависит от порядка соединения звеньев [4]. Выявить правильный порядок можно при имитации фильтра на ЭВМ [3] или при макетировании путем перебора разных вариантов. Это требует больших затрат времени и средств. Разработка аналитического метода поиска правильного порядка соединения звеньев свела бы задачу к формульному счету на ЭВМ, что экономически более выгодно.

Ниже предлагается метод поиска оптимального порядка соединения звеньев в каскадной реализации цифрового фильтра. Для решения этой задачи используется матричное представление линейного оператора, которым представляется цифровая фильтрующая цепь [1, 2, 6, 7], а оптимальный порядок соединения звеньев определяется из условий симметрии свойств оператора относительно случайного аддитивного воздействия, которым представляются аппаратурные ограничения [1, 4, 5].

Пусть цифровой фильтр состоит из  $K$  последовательно соединенных звеньев порядка  $n$ . Действие каждого звена можно представить матричным уравнением

$$A_k \cdot Y = X, \quad (1)$$

где  $k$  — номер соответствующего звена;  $Y$  — вектор внутренних состояний звена;  $X$  — вектор внешнего воздействия;  $A_k$  — матрица звена.

Каждое звено фильтра можно вычислить, поэтому его матрица имеет вид [2, 6]

$$A_k = \begin{pmatrix} 1 & \cdot & \cdot & \cdot & \cdot & \cdot & \cdot & \cdot & \cdot & \cdot \\ \cdot & 1 & \cdot & \cdot & \cdot & \cdot & \cdot & \cdot & \alpha_{ij}^k & \cdot \\ \cdot & \cdot & 1 & \cdot & \cdot & \cdot & \cdot & \cdot & \cdot & \cdot \\ \cdot & \cdot & \cdot & \cdot & \cdot & \cdot & \cdot & \cdot & \cdot & \cdot \\ \cdot & \cdot & \cdot & \cdot & \cdot & \cdot & \cdot & \cdot & \cdot & \cdot \\ \cdot & \cdot & \cdot & \cdot & \cdot & \cdot & 1 & \cdot & \cdot & \cdot \\ \cdot & z_{lm} & \cdot & \cdot & \cdot & \cdot & \cdot & 1 & \cdot & \cdot \\ \cdot & \cdot & \cdot & \cdot & \cdot & \cdot & \cdot & \cdot & \cdot & 1 \end{pmatrix}, \quad (2)$$

где  $a_{ij}^k$  — коэффициенты, некоторые из них равны нулю; ненулевые  $z_{lm} = \exp(-j\omega T)$ ;  $T$  — период дискретизации. Матрица фильтра при каскадной реализации будет

$1$	$0$	$0$	$0$	$0$
$0$	$A_1$	$0$	$0$	$0$
$0$	$\begin{matrix} 10 \dots \\ 00 \dots \end{matrix}$	$A_2$	$0$	$0$
$0$	$0$	$\begin{matrix} 10 \dots \\ 00 \dots \end{matrix}$	$A_3$	$0$
$0$	$0$	$0$	$0$	$A_K$

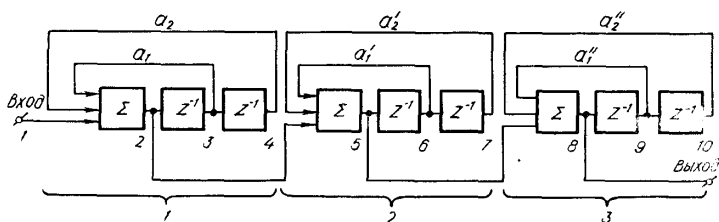
При аппаратурной реализации коэффициенты  $a_{ij}^k$  невозможно представить точно. Другие аппаратурные ограничения также можно интерпретировать как неточное представление коэффициентов. Обычно ошибка представления коэффициентов трактуется как аддитивная случайная величина  $\alpha_{ij}^k$  с равномерным распределением и числовыми ха-

рактис чисел, д.  $Q_{Aj} - Q_{Bs_j} = z^{-m} \Gamma_{jm} + z^{-(m-1)} \Gamma_{jm-1} + \dots + \Gamma_0 = 0, j = \overline{0, K-1}$

Тогда коэффициенты  $b_{i_j}^k = a_{ij}^k + \alpha_{ij}^k$ , а матрица фильтра  $B = \Delta A$ , где  $\Delta$  — матрица случайного воздействия. Если

$$(\exists \Delta_s) (B_s \sim A), \quad (3)$$

то имеет место симметрия структуры фильтра относительно случайного воздействия  $\Delta_s$ , характеризующего  $s$ -ю реализацию, что будет при



$\Lambda_{B_s} = \Lambda_A$ , где  $\Lambda_{B_s, A}$  — соответствующие характеристические уравнения. Практически достаточно рассматривать характеристические уравнения матриц  $K \times K$  с диагональными элементами  $A_k$  и  $B_k$ . Например,

$$\Lambda'_A = (-\lambda)^K + (-\lambda)^{K-1} \sum_{i=1}^{c'_K} P_{1i} + (-\lambda)^{K-2} \sum_{i=1}^{c''_K} P_{2i} + \dots + (-\lambda)^{K-1} \sum_{i=1}^{c'_K} P_{ji},$$

$$\text{гд } \Lambda'_A = (-\lambda)^K + (-\lambda)^{K-1} \sum_{i=1}^{c'_K} P_{1i} + (-\lambda)^{K-2} \sum_{i=1}^{c''_K} P_{2i} + \dots + (-\lambda)^{K-1} \sum_{i=1}^{c'_K} P_{ji},$$

ме

$\lambda$  можно представить как  $Q_{Aj} = z^{-m} A_m + z^{m-1} A_{m-1} + \dots + A_0$  ( $A_m$  — матрицы из коэффициентов  $a_{ij}^k$ ). Аналогичные соотношения справедливы для  $B_s$ . Если  $B_s \sim A$ , то  $Q_{Aj} = Q_{Bs_j}$ , значит,

$$Q_{Aj} - Q_{Bs_j} = z^{-m} \Gamma_{jm} + z^{-(m-1)} \Gamma_{jm-1} + \dots + \Gamma_0 = 0, j = \overline{0, K-1} \quad (4)$$

будет условием симметрии структуры фильтра. Поскольку произведения матриц некоммутативно, то будет  $K!$  вариантов (4) для каждой  $s$ -реализации фильтра, где каждый вариант отвечает определенному порядку соединения звеньев фильтра.

Для каждой реализации  $s$  условие (4) может не выполняться, однако для одного из  $K!$  вариантов существует минимум (4), который можно определить как минимум выражения

$$M = \sqrt{\sum_{j,r=0}^m \gamma_{jr}^2}, \quad (5)$$

где  $\gamma_{jr}$  — абсолютная норма [1] матрицы  $\Gamma_{jr}$  в (4);  $j = \overline{0, K-1}$ ;  $r = \overline{0, m}$ .

Этот вариант оптимален. Условия существования минимума (4) требуют дальнейших исследований, однако ясно, что они зависят от способа реализации  $s$ .

Таким образом, поиск оптимального варианта соединения звеньев при каскадной реализации фильтра сводится к рассмотрению подстановок в (5) и определению перестановки с минимальной нормой матрицы, что выполняется на ЭВМ значительно быстрее, чем при исследовании имитационной модели.

Пример. Представим каскадную реализацию фильтра каноническими звеньями второго порядка (см. рисунок), где реализация филь-

Условие (4) имеет вид

$$\begin{vmatrix} \Gamma_{00} & \Gamma_{01} & \Gamma_{02} \\ \Gamma_{10} & \Gamma_{11} & \Gamma_{12} \\ \Gamma_{20} & \Gamma_{21} & \Gamma_{22} \end{vmatrix} \begin{vmatrix} 1 \\ z^{-1} \\ z^{-2} \end{vmatrix} = 0,$$

$$\gamma_{00} = 4,24\alpha,$$

$$\gamma_{01} = \alpha \sqrt{2\alpha^2 + 2\alpha(2a_1 + a_1'' + a_2'' - 3) + (a_1 + a_2'')^2 - 6(a_1 + a_1'') + 36},$$

$$\gamma_{02} = \alpha \sqrt{185 + 2\alpha^2 + 2\alpha(2a_1 + a_1'' + a_2'' - 3) + (a_1 + a_1'')^2 - 6(a_1 + a_1'')}.$$

Откуда

$$M = \alpha \sqrt{185 + 2\alpha^2 + 2\alpha(2a_1 + a_1'' + a_2'' - 3) + (a_1 + a_1'')^2 - 6(a_1 + a_1'')}.$$

Возможно всего  $K! = 1 \cdot 2 \cdot 3 = 6$  разных  $M$  при таких порядках соединения звеньев: (123), (132), (213), (231), (312) и (321):  $M_{213} = 1,328979 \times 10^{-2}$ ,  $M_{132} = 1,328528 \cdot 10^{-2}$ ,  $M_{213} = 1,328212 \cdot 10^{-2}$ ,  $M_{231} = 1,328527 \cdot 10^{-2}$ ,  $M_{312} = 1,328212 \cdot 10^{-2}$ ,  $M_{321} = 1,328979 \cdot 10^{-2}$ .

Откуда при предполагаемой реализации фильтра нужно принять порядок следования звеньев (213) или (312).

1. Драган Я. П. Структура и представление моделей стохастических сигналов.— Киев: Наук. думка, 1980.—384 с.
2. Крошьер, Опенгейм. Анализ линейных цифровых цепей.— Тр. ин-та инженеров по электротехнике и радиоэлектрон., 1975, 63, № 4, с. 45—61.
3. Кухлин Г. Н., Суханов С. В. Имитационная модель для синтеза цифровых рекурсивных фильтров.— Вопр. кибернетики, 1979, № 62, с. 36—44.
4. Ланнз А. А., Шевкопляс Г. Б. Шумы и точность реализации характеристик цифровых фильтров.— Зарубеж. радиоэлектрон., 1974, № 4, с. 18—47.
5. Опенгейм А. В., Шафер Р. В. Цифровая обработка сигналов.— М.: Связь, 1979.— 416 с.
6. Петренко А. И., Артюхов В. Г., Кондратьев В. А., Подладчиков В. Н. Матричные модели цифровых цепей.— Автоматизация проектирования в электрон., 1979, № 19, с. 6—17.
7. Ярославский Л. П. Введение в цифровую обработку изображения.— М.: Сов. радио, 1979.—312 с.

Тернополь

Получено 27.01.81

УДК 621.317.42

**Р. Я. Беркман**

## **КОЛЬЦЕВЫЕ ФЕРРОЗОНДЫ С СИСТЕМОЙ РАСПРЕДЕЛЕННЫХ ИЗМЕРИТЕЛЬНЫХ ОБМОТОК**

Дальнейшее усовершенствование кольцевых феррозондовых (КФЗ), сердечник которых представляет собой замкнутую систему для поля возбуждения, обусловлено рядом метрологических и конструктивных достоинств этих устройств [3, 5, 8, 9]. Во всех опубликованных до настоящего времени работах предполагается, однако, что измеряемое поле однородно в объеме КФЗ, а каждая составляющая этого поля измеряется с помощью обмотки (или пары обмоток), охватывающей сердечник и расположенной симметрично относительно центра КФЗ перпендикулярно направлению измеряемой составляющей.

Метод расчета полей в кольцевых сердечниках, помещенных в неоднородное поле [2, 4], позволяет произвести анализ процессов в КФЗ в более общем случае. В данной работе на основе обобщенной характеристики преобразования КФЗ, выведенной аналитически, разработана схема включения системы узких измерительных обмоток, позволяющая производить одновременно измерение составляющих однородного поля